

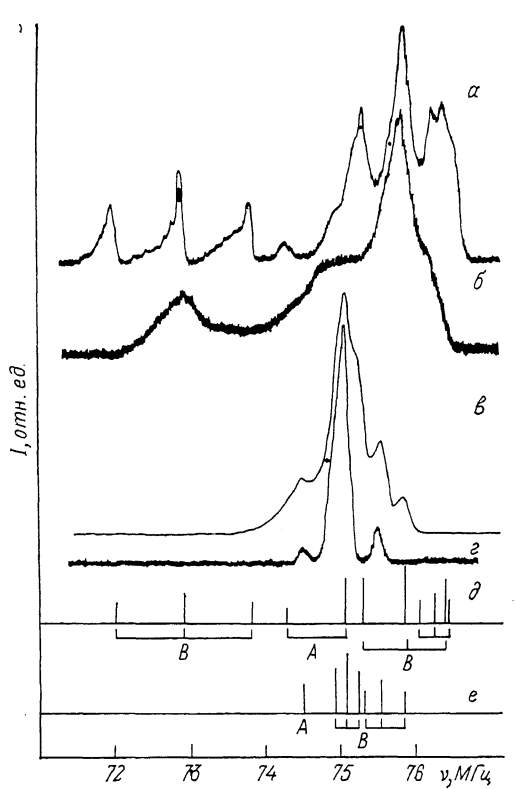
# ИССЛЕДОВАНИЕ РАСПРЕДЕЛЕНИЯ ИОНОВ $\text{Cr}^{3+}$ В $\text{Li}_{0.5}\text{Fe}_{2.5-x}\text{Cr}_x\text{O}_4$ МЕТОДОМ ЯМР

Г. Н. Абеляшев, В. В. Мальнев, В. Н. Селезнев,  
Н. А. Сергеев, Ю. В. Федотов

Распределение ионов  $\text{Cr}^{3+}$  в литий-хромовом феррите  $\text{Li}_{0.5}\text{Fe}_{2.5-x}\text{Cr}_x\text{O}_4$  по тетраэдрическим *A*-позициям и октаэдрическим *B*-позициям исследовалось ранее в [1-3]. Гортер [1], анализируя данные по намагниченности насыщения, сделал вывод о том, что ионы хрома занимают только октаэдрические *B*-позиции. Исследования с помощью эффекта Мессбауэра на ядрах  $^{57}\text{Fe}$  подтвердили этот вывод [2, 3]. Надо отметить, что оба метода исследования катионного распределения носят косвенный характер. Более прямым методом исследования распределения ионов хрома

в  $\text{Li}_{0.5}\text{Fe}_{2.5-x}\text{Cr}_x\text{O}_4$  является метод ядерного магнитного резонанса (ЯМР). Ядра  $^{53}\text{Cr}$  помимо магнитного момента обладают также электрическим квадрупольным моментом. В связи с этим спектры ЯМР ядер  $^{53}\text{Cr}$  в позициях *A* и *B* должны иметь существенно различный вид. В настоящем сообщении приведены экспериментальные результаты исследования распределения ионов хрома в литий-хромовом феррите методом ЯМР.

Эксперименты проводились при 4.2 К на импульсном спектрометре ЯМР. В  $\text{Li}_{0.5}\text{Fe}_{2.5-x}\text{Cr}_x\text{O}_4$  помимо ядер хрома имеются ядра  $^{57}\text{Fe}$ , спектр



Спектры ЯМР  $^{53}\text{Cr}$  в литиевом феррите.

*α, β* — образец  $\text{Li}_{0.5}\text{Fe}_{2.5-x}\text{Cr}_x\text{O}_4$ ; *α* —  $V_{2\pi}(\nu)$ , *β* —  $V_{4\pi}(\nu)$ ,  $M \parallel \langle 111 \rangle$ ; *γ, ε* — образец  $\text{Li}_{0.5}\text{Fe}_{2.5-x}\text{Cr}_x\text{O}_4$ , легированный кобальтом; *γ* —  $V_{2\pi}(\nu)$ , *ε* —  $V_{4\pi}(\nu)$ ,  $M \parallel \langle 100 \rangle$ ; *δ, ε* — расчетные частотное положение и интенсивности линий ЯМР при  $M_g \parallel \langle 111 \rangle$  (*δ*) и  $M_g \parallel \langle 100 \rangle$  (*ε*). Для *A*-позиций при  $M_g \parallel \langle 111 \rangle$  указаны только центральные линии триплетов.

ЯМР которых лежит в том же диапазоне частот, что и спектр ЯМР ядер  $^{53}\text{Cr}$ . Поэтому, для того чтобы исключить из суперпозиционного спектра ЯМР линии, относящиеся к ядрам  $^{57}\text{Fe}$ , использовались монокристаллические образцы, содержащие только немагнитный изотоп  $^{56}\text{Fe}$ . При 4.2 К намагниченность  $M$  в доменах в литиевом феррите направлена вдоль осей типа  $\langle 111 \rangle$  [4]. При легировании образца ионами кобальта (0.1 вес. %) намагниченность в доменах меняет направление на  $\langle 100 \rangle$  [4]. Нами экспериментально исследовались образцы как с  $M \parallel \langle 111 \rangle$ , так и с  $M \parallel \langle 100 \rangle$ . Регистрировались частотные зависимости амплитуд двухимпульсных эхо, возникающих в моменты времени  $2\tau (V_{2\pi}(\nu))$  и  $4\tau (V_{4\pi}(\nu))$ . В [5] показано, что спектр  $V_{2\pi}(\nu)$  отражает как магнитное сверхтонкое взаимодействие (СТВ), так и квадрупольное СТВ ядра. Спектр  $V_{4\pi}(\nu)$  отражает

Таблица 1

Вид тензоров СТВ магнитного и квадрупольного ( $\Gamma\text{ЭП}$ ) ядра  $^{13}\text{Сг}$ , частотного положения и интенсивности спектральных линий ЯМР для  $A$ - и  $B$ -позиций при  $\mathbf{M}_s \parallel \langle 111 \rangle$  и  $\mathbf{M}_s \parallel \langle 100 \rangle$

Применение	Локальная единица	Вид тензора СТВ *	$\mathbf{M}_s \parallel \langle 111 \rangle$			$\mathbf{M}_s \parallel \langle 100 \rangle$		
			$V_{\pi\pi}(\nu)$	$I$	$V_{\pi\tau}(\nu)$	$I$	$V_{\pi\tau}(\nu)$	$I$
магнитного	ГЭП		$v_{0A} + 2v_a - v_q$	9	$v_{0A} + 2v_a$	3	$v_{0A}$	1
$A$	3		$v_{0A} + 2v_a + v_q$	9	$v_{0A} + 2v_a + v_q$	3	$v_{0A}$	1
			$v_{0A} - 2v_a/3 - v_q/3$	3	$v_{0A} - 2v_a/3$	1	$v_{0B} + 2v_d + v_{q^0}$	3
			$v_{0A} - 2v_a/3 + v_q/3$	4	$v_{0A} - 2v_a/3$	1	$v_{0B} + 2v_d + v_{q^0}$	3
			$v_{0A} - 2v_a/3 + v_q/3$	3	$v_{0B} - 2(2v_1 + v_2)/3 - (2v_{q^1} + v_{q^2})/3$	3	$v_{0B} + 2v_d + v_{q^0}$	3
			$v_{0B} - 2(2v_1 + v_2)/3 + (2v_{q^1} + v_{q^2})/3$	4	$v_{0B} - 2(2v_1 + v_2)/3$	1	$v_{0B} + 2v_d$	4
			$v_{0B} + 2(2v_1 - v_2)/3 - (2v_{q^1} - v_{q^2})/3$	3	$v_{0B} + 2(2v_1 - v_2)/3$	1	$v_{0B} + 2v_d - v_{q^0}$	3
			$v_{0B} + 2(2v_1 - v_2)/3 + (2v_{q^1} - v_{q^2})/3$	4	$v_{0B} + 2(2v_1 - v_2)/3$	1	$v_{0B} - v_d - v_{q^0}/2$	6
			$v_{0B} + 2(2v_1 - v_2)/3 + (2v_{q^1} - v_{q^2})/3$	3	$v_{0B} + 2v_d + v_{q^0}$	1	$v_{0B} - v_d$	6
			$v_{0B} + 2v_d/3 - v_{q^2}/3$	6	$v_{0B} + 2v_d/3$	2	$v_{0B} - v_d$	2
			$v_{0B} + 2v_d/3 + v_{q^2}/3$	6	$v_{0B} + 2v_d/3$	2	$v_{0B} - v_d + v_{q^0}/2$	6

\* В системе координат, в которой оси параллельны направлениям  $\langle 100 \rangle$ ,  $\langle 010 \rangle$ ,  $\langle 001 \rangle$ .

только магнитное СТВ. На рисунке приведены экспериментальные спектры  $V_{2\tau}$  (ν) и  $V_{4\tau}$  (ν) для образцов литиевого феррита с  $M \parallel \langle 111 \rangle$  и  $M \parallel \langle 100 \rangle$ .

Результаты проведенного нами теоретического анализа вида тензоров СТВ магнитного и квадрупольного ядер  $^{53}\text{Cr}$  представлены в табл. 1. Там же приведены частотные положения и интенсивности спектральных линий ЯМР при  $M \parallel \langle 111 \rangle$  и  $M \parallel \langle 100 \rangle$  для A- и B-позиций.

Из табл. 1 следует, что если ионы  $\text{Cr}^{3+}$  занимают только B-позиции, то в спектре ЯМР  $V_{4\tau}$  (ν) при  $M \parallel \langle 100 \rangle$  должны наблюдаться две линии с соотношением интенсивностей 1 : 2. Действительно (см. рисунок, 2) в спектре  $V_{4\tau}$  (ν) наблюдаются не две, а три линии. Наличие в спектре  $V_{4\tau}$  (ν) третьей низкочастотной линии нельзя объяснить наличием в образце остаточного количества магнитного изотопа  $^{57}\text{Fe}$ , так как этот изотоп имеет спин, равный 1/2, и не может давать вклад в формирование эха в момент времени  $4\tau$  [5]. Эта линия также не может быть обусловлена резонансом ядер  $^{59}\text{Co}$ , так как резонансные частоты этих ядер в  $\text{Li}_{0.5-y/2}\text{Fe}_{2.5-y/2}\text{Cr}_y\text{O}_4$  лежат в диапазоне частот 300—330 МГц [6]. Следовательно, наличие третьей низкочастотной линии в спектре  $V_{4\tau}$  (ν) при  $M \parallel \langle 100 \rangle$  указывает на то, что ионы хрома в  $\text{Li}_{0.5}\text{Fe}_{2.5-x}\text{Cr}_x\text{O}_4$  занимают не только октаэдрические B-позиции, но и тетраэдрические A-позиции.

Результаты анализа экспериментальных спектров  $V_{2\tau}$  (ν),  $V_{4\tau}$  (ν) при  $M_s \parallel \langle 111 \rangle$  и  $M_s \parallel \langle 100 \rangle$  с привлечением данных табл. 1 приведены на рисунке, δ, ε и в табл. 2.

Таблица 2

Экспериментальные значения компонент тензоров СТВ  
(магнитного и ГЭП) для A- и B-позиций

Тензоры магнитного СТВ						Тензор ГЭП		
B-позиция, МГц			A-позиция, МГц			B-позиция, МГц		
75.23±0.15	1.25	0.95	74.5	0.3	0.3	0.32	0.53	1.65
1.25	75.23±0.3	1.25	0.3	74.5	0.3	0.53	0.64	0.53
0.95	1.25	75.23±0.15	0.3	0.3	74.5	1.65	0.53	0.32

Таким образом, основной вывод настоящего исследования распределения ионов  $\text{Cr}^{3+}$  в  $\text{Li}_{0.5}\text{Fe}_{2.5-x}\text{Cr}_x\text{O}_4$  методом ЯМР сводится к тому, что ионы хрома в литиевой шпинели занимают как октаэдрические, так и тетраэдрические позиции.

Авторы выражают благодарность А. Р. Прокопову за синтез образцов.

#### Список литературы

- [1] Гортер Е. В. // УФН. 1955. Т. 57. № 3. С. 435—483.
- [2] Gill Navdeep, Puri R. K. // Spectrochim. Acta. 1965. V. A41. N 8. P. 1005—1006.
- [3] Dormann J. L. // Revue Phys. Appl. 1980. V. 15. P. 1113—1121.
- [4] Doroshev V. D., Klochan V. A., Kovtun N. M., Seleznev V. N. // Phys. Stat. Sol. (a). 1972. V. 9. P. 679—689.
- [5] Абеляшев Г. Н., Бержанский В. Н., Сергеев Н. А., Федотов Ю. В. // ЖЭТФ. 1988. Т. 94. № 1. С. 227—237.
- [6] Дрокин А. И., Метляев Т. Н., Иванова А. В., Абеляшев Г. Н., Щербаков В. Н., Шемяков А. А. и Червенчук Л. П. // Изв. АН СССР, сер. физ. 1981. Т. 45. № 9. С. 1631—1634.

Симферопольский государственный  
университет им. М. В. Фрунзе

Поступило в Редакцию  
11 ноября 1990 г.